

A mikroszkóp legfontosabb típusai

Bionikai rendszerek vizsgálata

Osváth Szabolcs

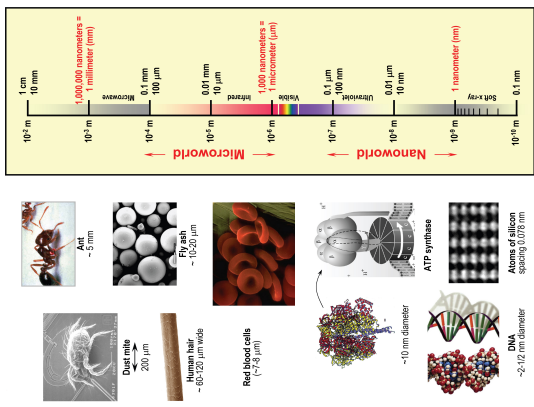
Semmelweis Egyetem
szabolcs.osvath@eok.sote.hu

- optikai mikroszkópok
(Optical Microscope)

- elektron mikroszkópok
(Electron Microscope)

- pásztázó mikroszkópok
(Scanning Probe Microscope)

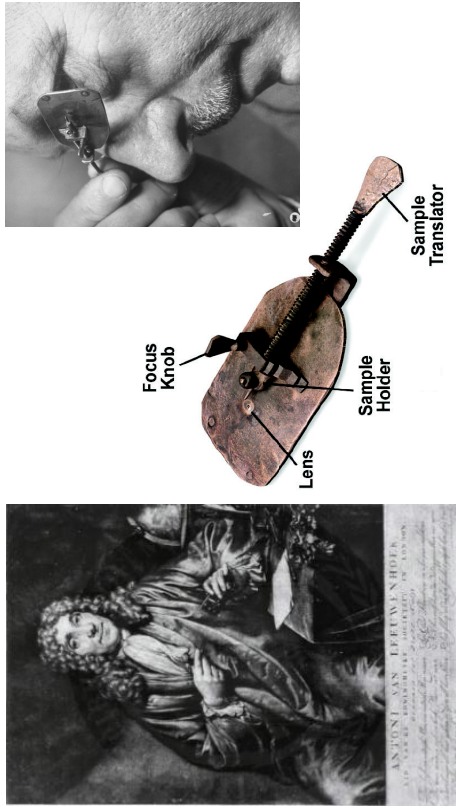
Mekkorák a dolgok?



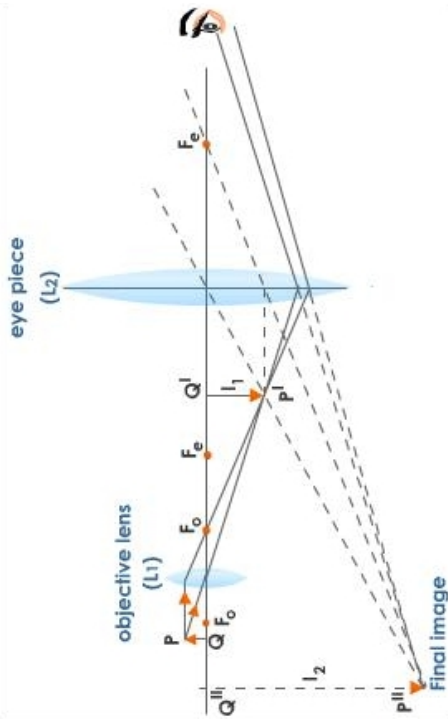
Hans Jansen és Zacharias Jansen 1590-ben összetett mikroszkópot épít



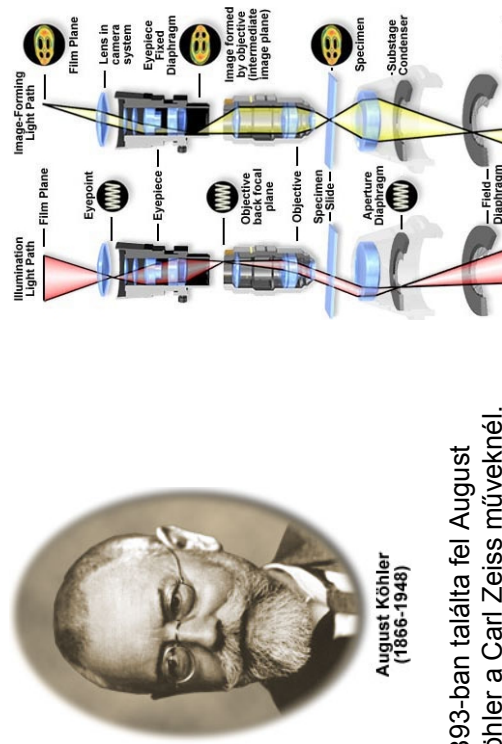
Antoni van Leeuwenhoek (Thonis Philipszoon) 1632-1723
1674-ben egyszerű mikroszkópot készít



Összetett mikroszkóp optikai útja



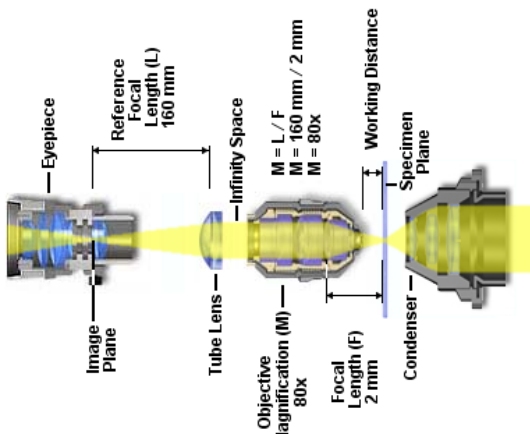
Köhler megvilágítás



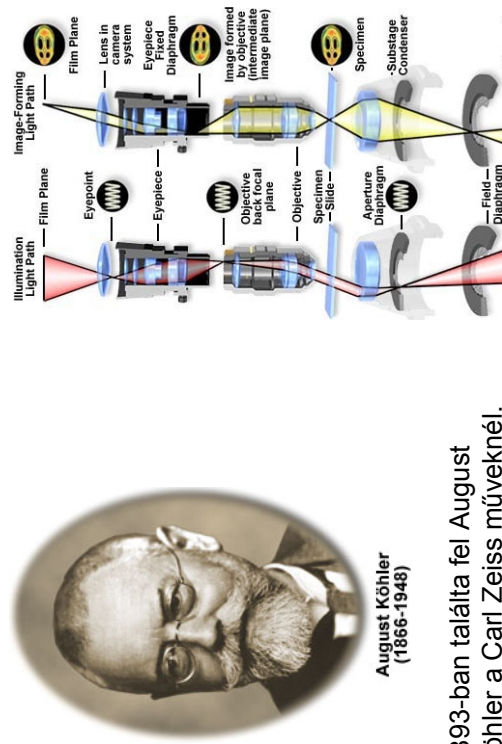
August Köhler
(1866-1948)

1893-ban találta fel August Köhler a Carl Zeiss műveknél.

“Végtelenre korrigált” optika



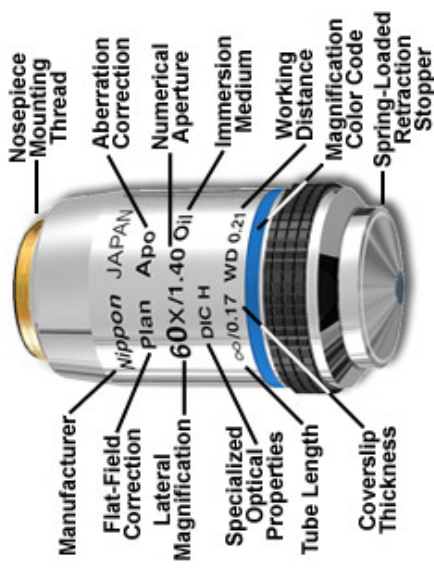
Köhler megvilágítás



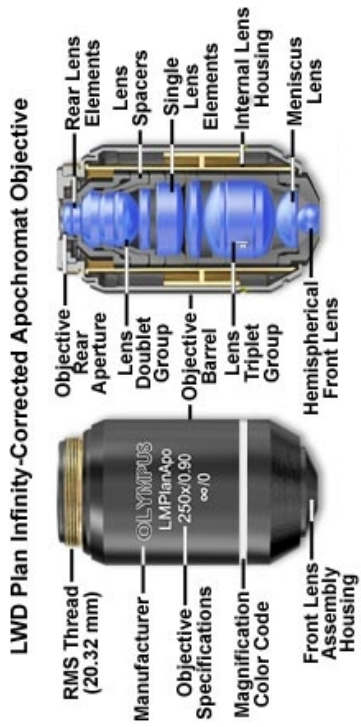
August Köhler
(1866-1948)

1893-ban találta fel August Köhler a Carl Zeiss műveknél.

Mikroszkóp objektív lensések

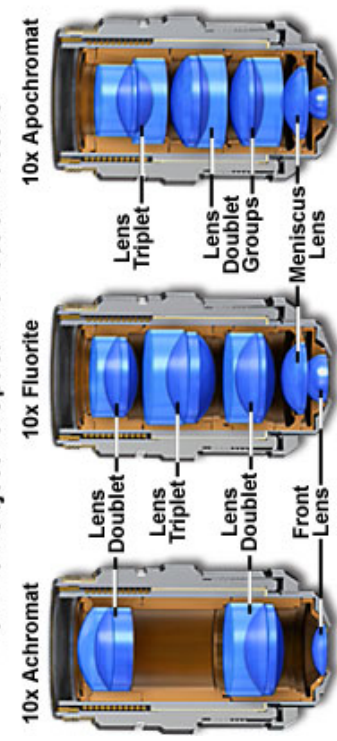


Mikroszkóp objektívek felépítése



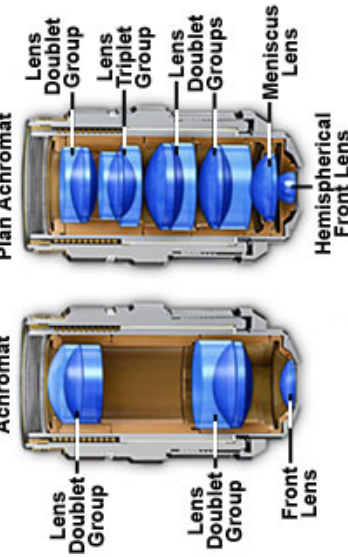
Színkorrekció

Common Objective Optical Correction Factors

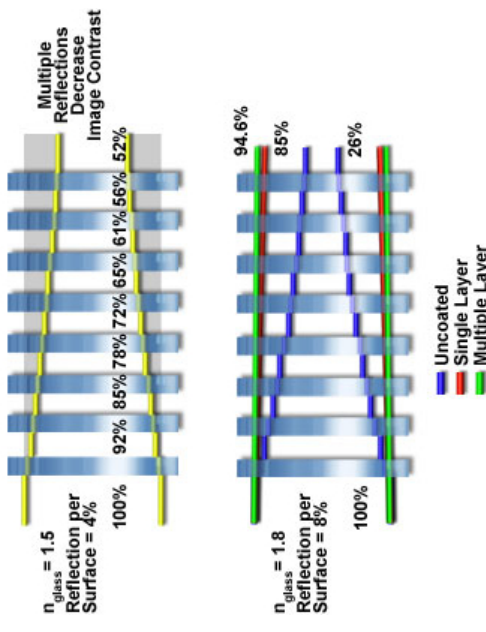


Plánkorrekció

Objective Correction for Field Curvature

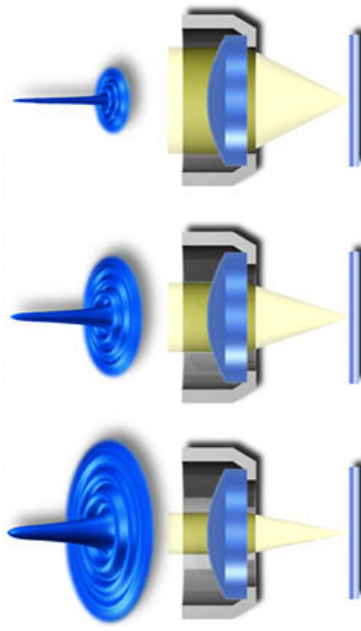


Fényvisszaverődés a felszínenken



Point Spread Function (PSF)

A numerikus apertúra hatása a PSF-re



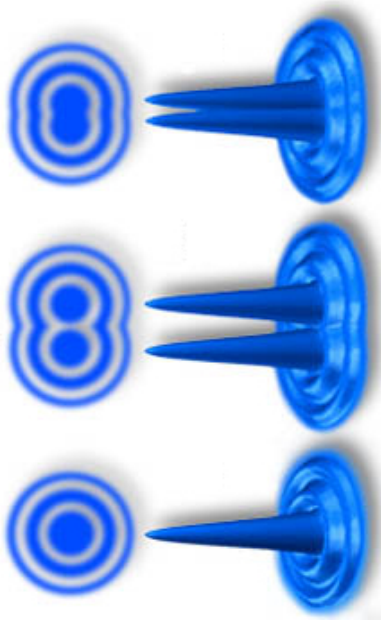
A PSF a mikroszkóp átviteli függvénye.

A (fluoreszcens) tárgy egy pontjának képe, nem egy pont, hanem addott intenzitáseloszlású folt. Ez a tulajdonság a fény hullámtérzetének a következménye.

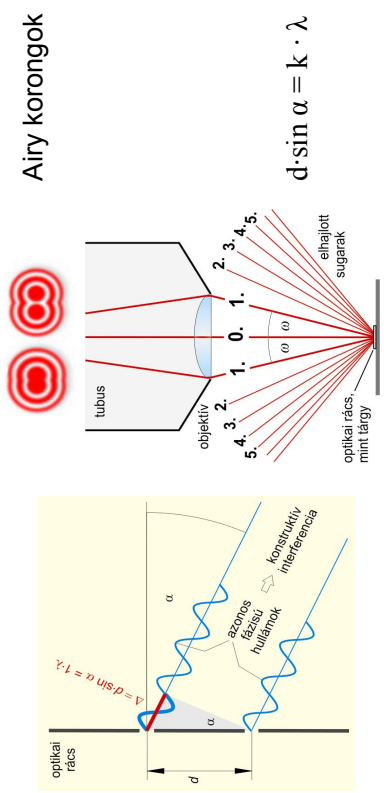
Az objektív segítségével egy térrészbe lehet a fényt fókuszálni, nem egy pontba.

Numerikus apertúra

A fény hullámtér mésztének hatása a képre



A fény hullámtér mésztének hatása a képre



Abbe elv

A mikroszkópban akkor és csak akkor tudunk feloldani két tárgypontot, ha az elhajlott fényhullámból a főmaximumon kívül legalább az első rendben elhajlott fény is részt vesz a képalkotásban.

Abbe összefüggés

$$\delta = 0,61 \cdot \lambda / (n \cdot \sin \omega)$$

Hallgatólagos feltevések:

- a minta különböző részeiről egyszerre alkotunk képet
- a létrejövő képbén megkülönböztethető képfoltokat ad.

Ernst Karl Abbe (1840-1905)



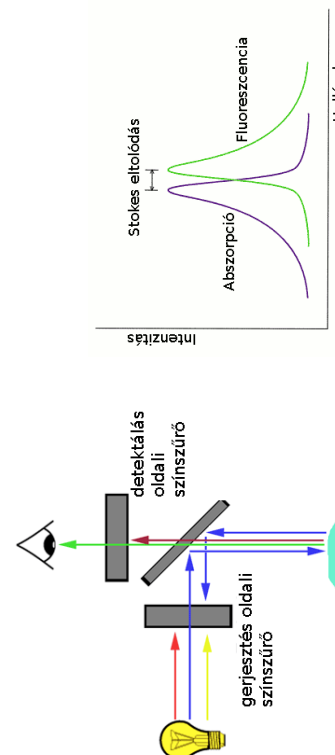
Fizikus és társadalomreformer

Az optikai eszközök gyártását
tudományos alapokra helyezte.

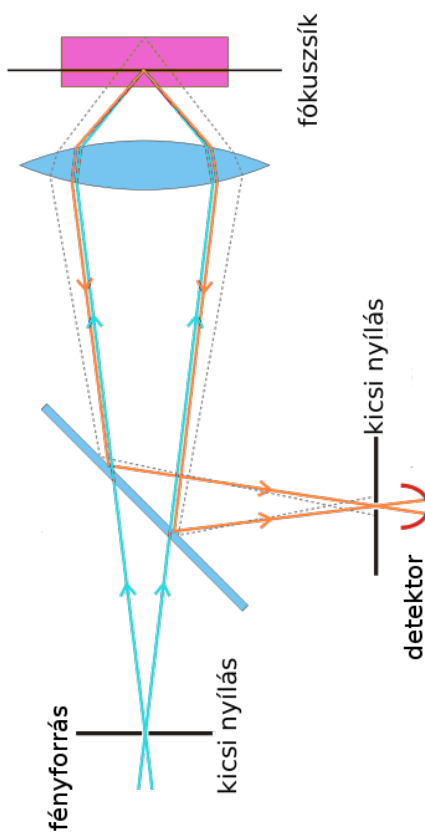
Objektívek numerikus apertúrája

Magnification	Plan Achromat (NA)	Plan Fluorite Achromat (NA)	Plan Fluorite Apochromat (NA)
0.5x	0.025	n/a	n/a
1x	0.04	n/a	n/a
2x	0.06	n/a	0.10
4x	0.10	0.13	0.20
10x	0.25	0.30	0.45
20x	0.40	0.50	0.75
40x	0.65	0.75	0.95
40x (oil)	n/a	1.30	1.00
60x	0.75	0.85	0.95
60x (oil)	n/a	n/a	1.40
100x (oil)	1.25	1.30	1.40
150x	n/a	n/a	0.90

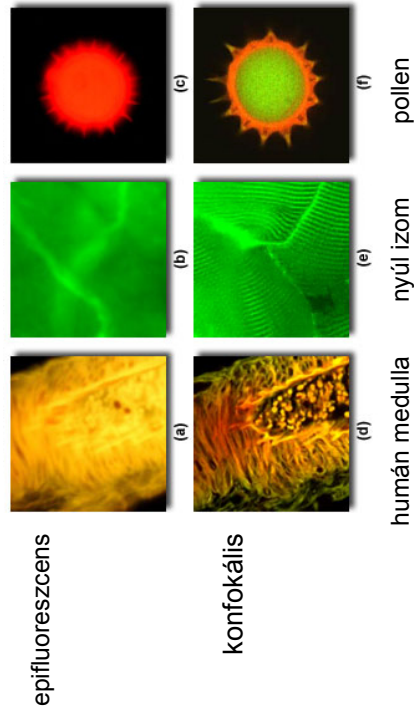
Fluorescencia mikroszkóp



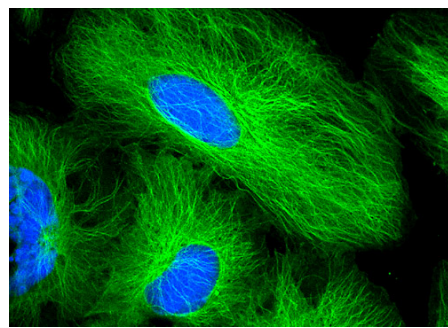
A konfokális fluorescencia mikroszkóp működése



Epifluoreszcens és konfokális mikroszkóp összehasonlítása

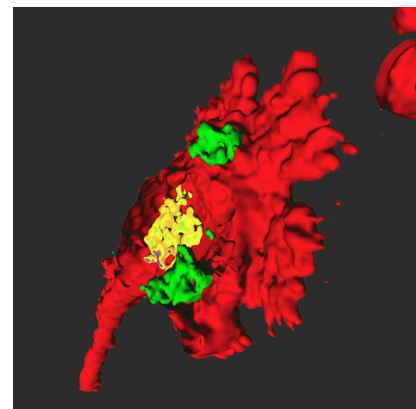


Konfokális mikroszkóp



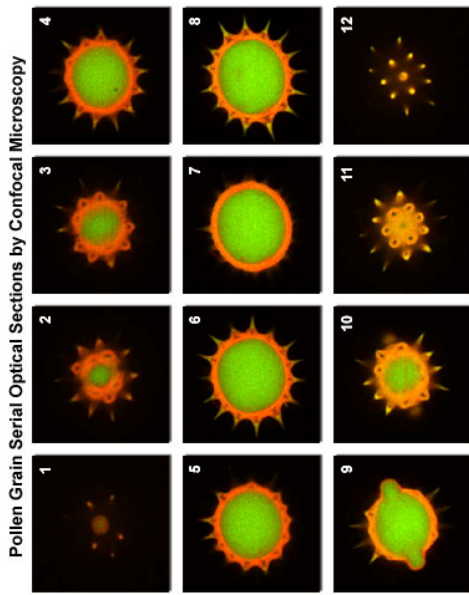
Tubulin mikrotubulusok
rekombináns tubulint kifejező
sejtekben.

Konfokális mikroszkóp

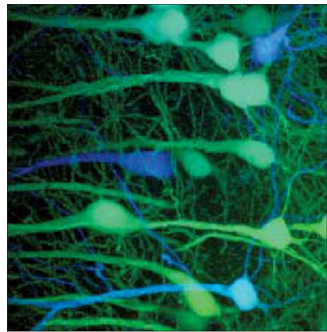
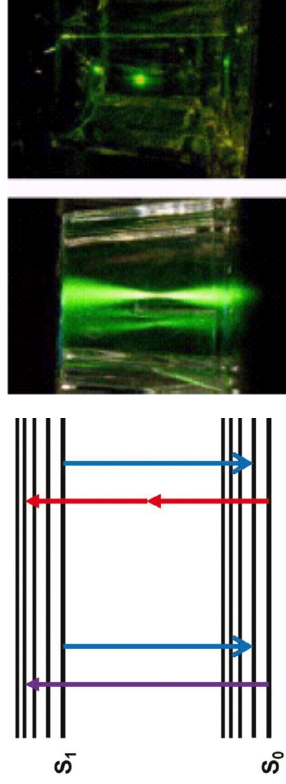


Dendritikus sejt pollen
szemcséket takarít el.
Konfokális mikroszkópi
technikával készített 3D kép.

Térbeli szeletelezés



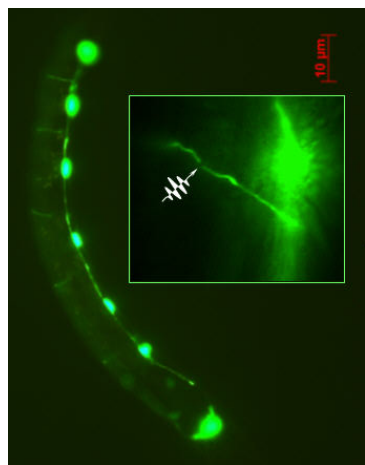
A kétfotonos mikroszkóp működési elve



Kétfotonos mikroszkópia

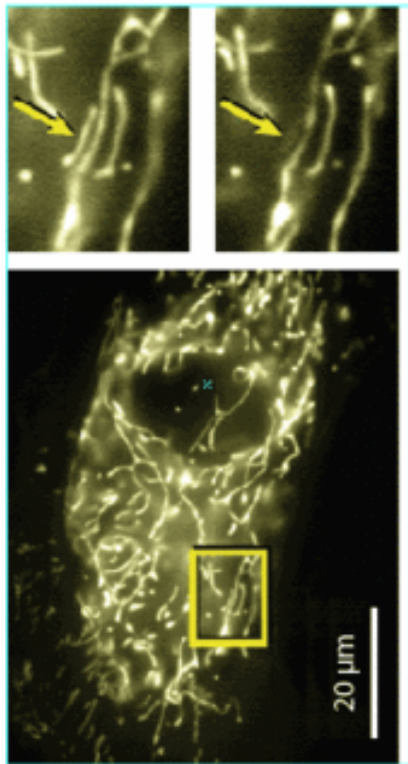
Zöld fluoreszcens fehérjét (GFP) kitrejző transzgenikus egerek vizuális kortextének kétfotonos mikroszkóppal készült képe.

Élőlények fluoreszcencia mikroszkópos tanulmányozása, nanosebészeti



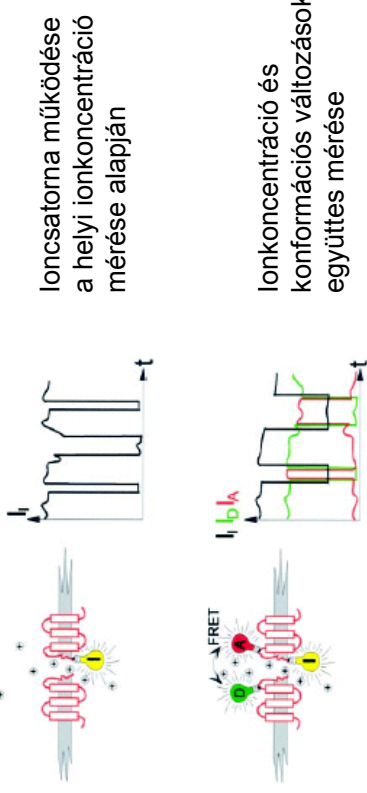
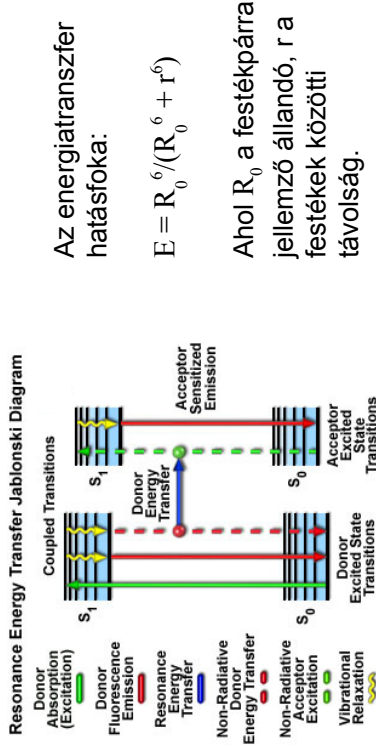
Caenorhabditis elegans 302 neuronja közül egyetlen idegsejt axonjának átvágása

Egyedi sejtek fluoreszcencia mikroszkópos tanulmányozása, nanosebészeti



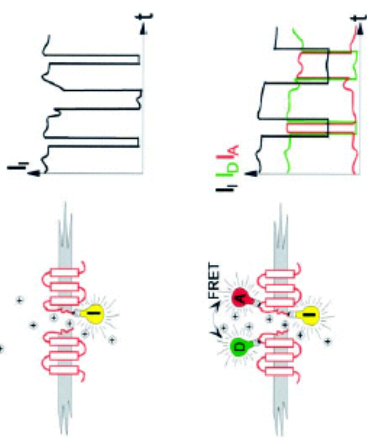
Egyetlen mitokondrium elpusztítása élő szarvasmarha epithelialis sejtbén

FRET (Fürster Resonance Energy Transfer)



Fluorescens indikátorok

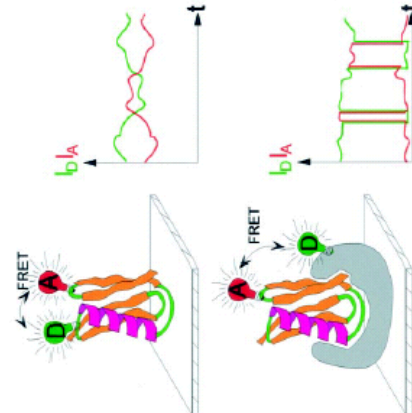
Ionsatorna működése a helyi ionkoncentráció mérése alapján



Ionkoncentráció és konformációs változások együttes mérése

FRET alkalmazások: távolságmérés

Molekulán belüli konformációs változások



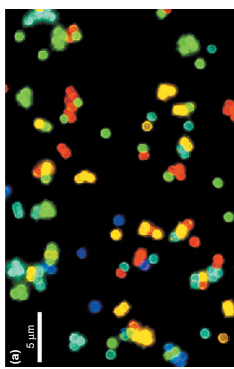
Az ideális fluorofór

- kicsi
- hidrofil
- a látható tartományban nyel el és emittál
- nagy Stokes eltolódás
- specifikus kötődés
- (biotin/avidin, His-tag/Ni, antitest/antigén, NH₂, SH)
- fényes (abszorpció-fluoreszcencia hatásfok)
- nem, vagy lassan ég ki
- nem csinál fotokémiai reakciókat
- nem pislog

www.probes.com (Invitrogen)

Fluoreszcens kvantumpöttyök

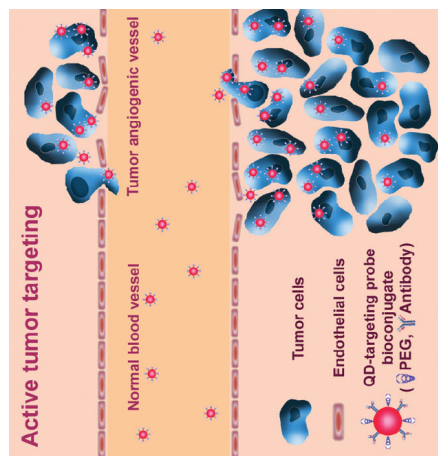
(a) CdSe-ből ZnS borítással készült kvantumpöttyök fluorescenciakamerás képe
A kvantumpöttyök mérete határozza meg az emittált fluoreszcencia színét.



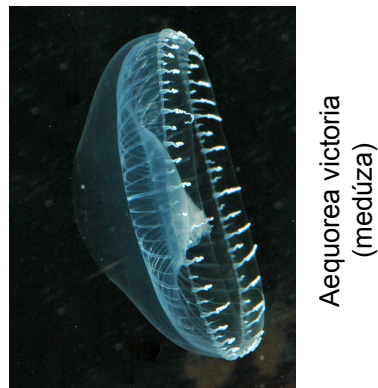
(b) tiz eltérő méretű, ezért elérő színben fluoreszkáló CdSe/ZnS kvantumpötty



Fluoreszcens kvantumpöttyökkel jelölt rákos daganatok



Fluoreszcens fehérjék



Aequorea victoria
(medúza)
Acropora millepora
(korall)

GFP (Green Fluorescent Protein)



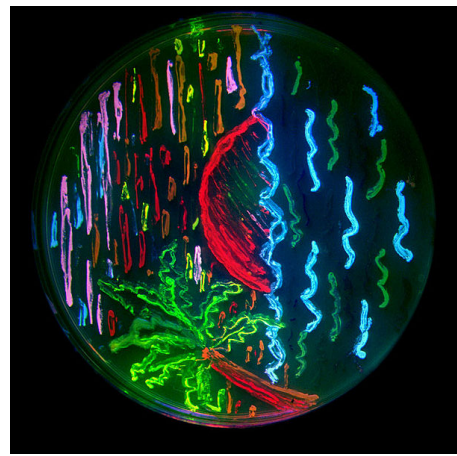
2008. évi kémiai Nobel díj

Osamu Shimomura – a '60-as években izolálta és elkezdte tanulmányozni

Martin Chalfie – 1994-ben génkifejeződés indikátoraként használta

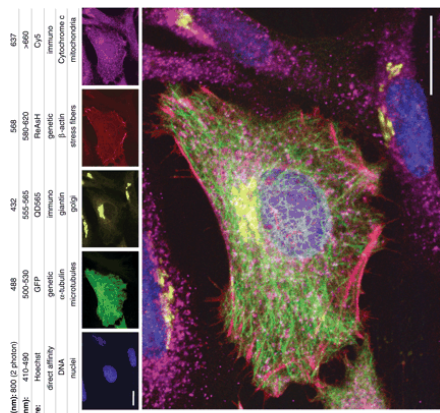
Roger Y. Tsien – 1995-ben előállított az első javított változatot

A fluorescens fehérjék sokfélesége



A képet teljes egészében fluorescens fehérjéket kifejező baktériumokkal festették.

Fluorescens jelölő módszerek párhuzamos alkalmazása



Excitation (nm) / Emission (nm)	Fluorophore	Targeting	Target:	Structure:
488 / 500-530	GFP	direct affinity	genomic	β-tub
412-490 / 555-565	Hochst	genetic	immuno	mitochondria
>460 / >560	Qdot655	immuno	β-tub	mitochondria
568 / 580-620	RhA/H	genetic	grapg	mitochondria

Öt különböző módszerrel megfestett HeLa sejtek.

A vonal 20 µm hosszú.